

IV. MISE EN ŒUVRE ET VALIDATION

IV.1 Choix des signaux d'entrée (1)

Signaux d'entrée suffisamment riches

Modèle LRP:

- * N_θ Composantes fréquentielles au minimum
- * $\Leftrightarrow \frac{N_\theta}{2}$ sinusoïdes
- * $\Phi^T \Phi$ de plein rang : $= N_\theta$

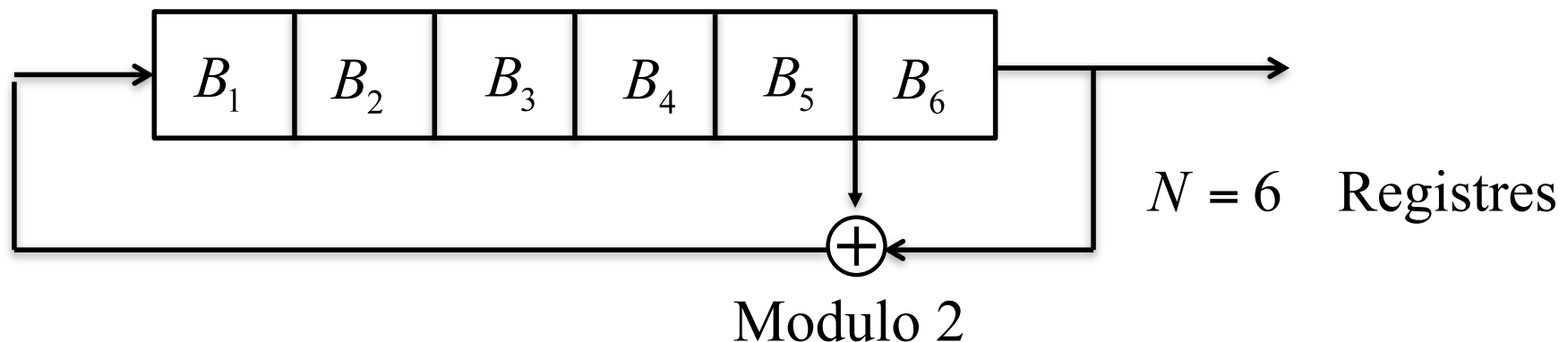
IV. MISE EN ŒUVRE ET VALIDATION

IV.1 Choix des signaux d'entrée (2)

Utilisation de séquences binaires pseudo-aléatoires (SBPA, « PRBS »)

Générée facilement avec des registres à décalage

Exemple:



Longueur de la séquence $L = 2^N - 1 = 2^6 - 1 = 63$

Durée maximale d'une suite de 1 ou de 0 $= NT$

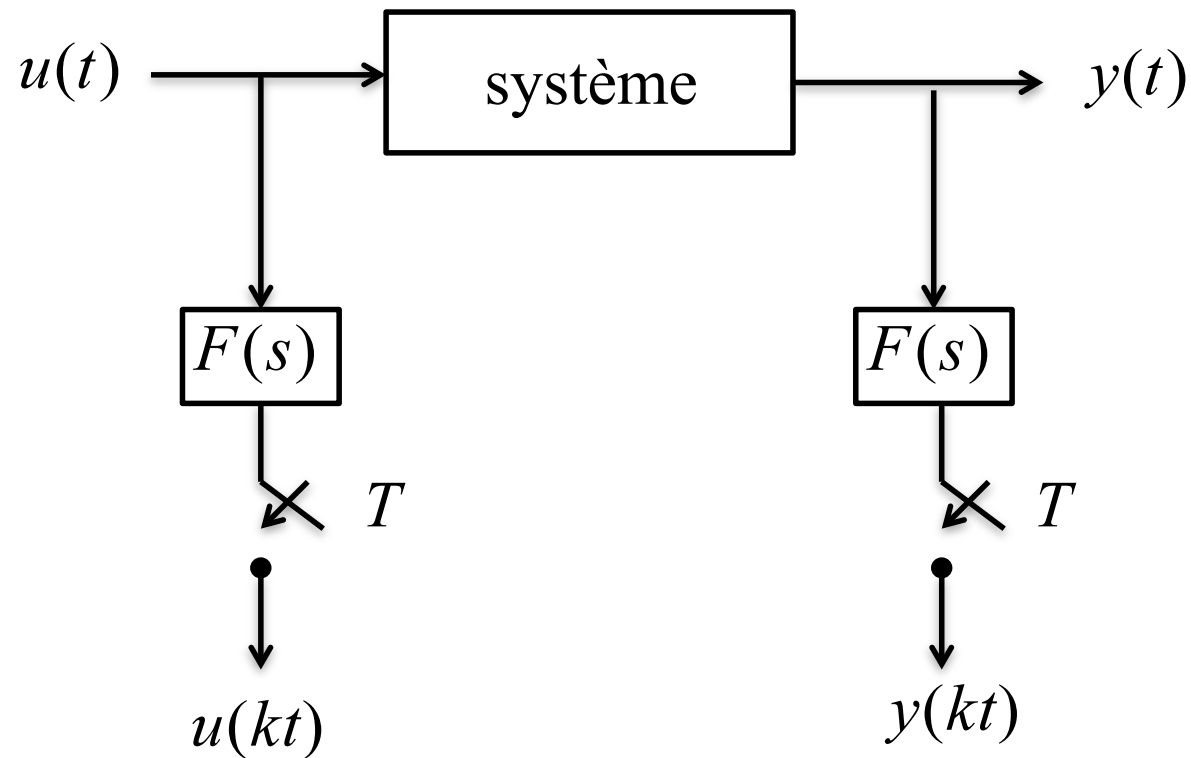
$T =$ Période d'échantillonnage $NT \geq 3t_m$

Pour identifier
le gain

IV. MISE EN ŒUVRE ET VALIDATION

IV.2 Echantillonnage (1)

A. Entrée analogique



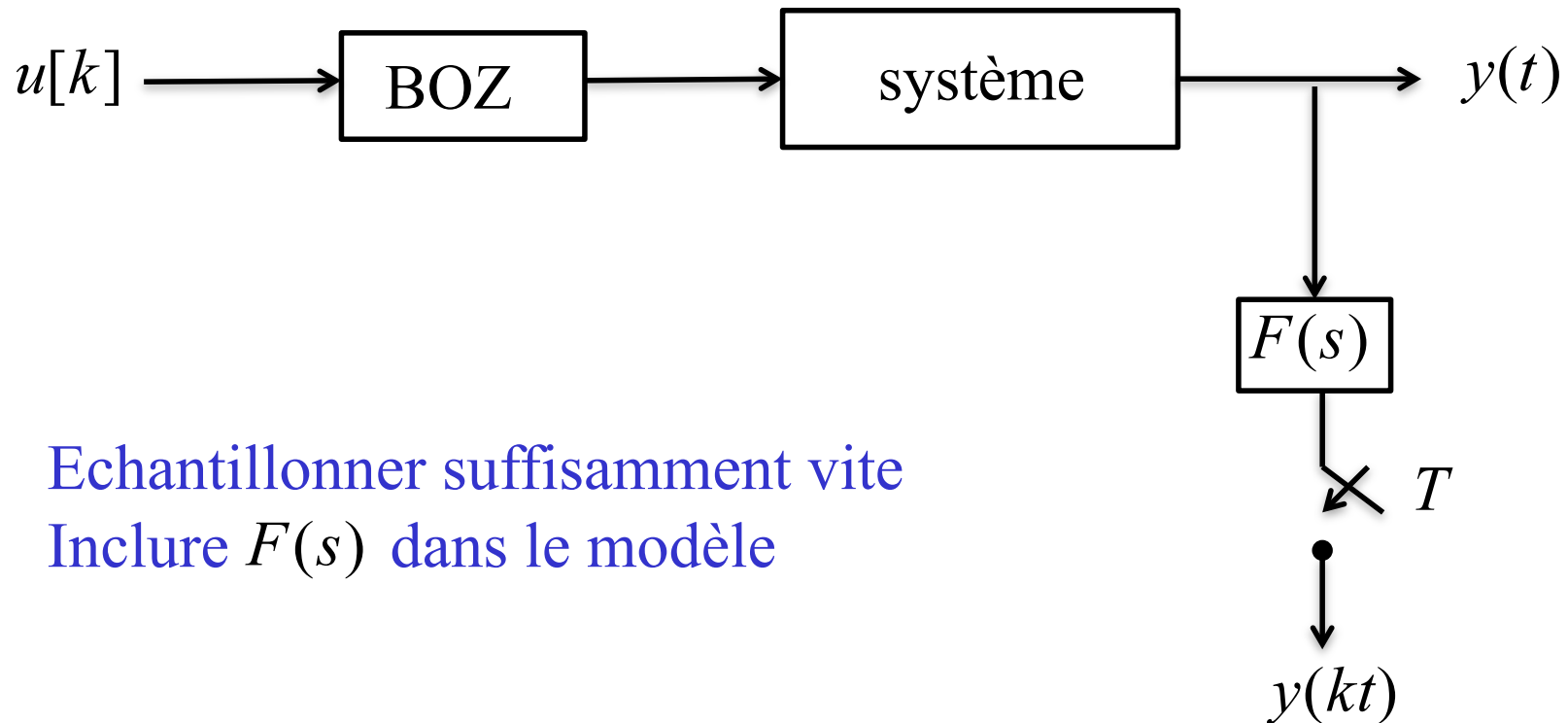
$F(s)$ filtre anti repliement fréquence de coupure f_B

$$f_e = \frac{1}{T} \geq 2f_B$$

IV. MISE EN ŒUVRE ET VALIDATION

IV.2 Echantillonnage (2)

B. Entrée numérique



1. Echantillonner suffisamment vite
2. Inclure $F(s)$ dans le modèle

Choix de T

- T trop grand \Rightarrow mauvais modèle dynamique
 - T trop petit \Rightarrow pôles près de $z = 1$
- \Rightarrow sous échantillonnage + filtrage anti repliement numérique

IV. MISE EN ŒUVRE ET VALIDATION

IV.3 Prétraitement des données (1)

A. Elimination des points aberrants

Visualisation des données + élimination

B. Sous échantillonnage

Si $T < \frac{1}{100}$ de la constante de temps dominante

Faire un filtrage passe-bas numérique avant décimation

$$f_e = \frac{1}{T} \Rightarrow f_e' = \frac{1}{nT} = \frac{f_e}{n}$$

Fréquence
de coupure $f_c \leq \frac{f_e}{2n}$

IV. MISE EN ŒUVRE ET VALIDATION

IV.3 Prétraitement des données (2)

Exemples

Filtre RII

$$F(z) = \frac{1 - \alpha}{1 - \alpha z^{-1}} \quad \alpha = e^{-T/\tau_c}$$
$$= e^{-2\pi T f_c}$$
$$= e^{-\lambda \frac{\pi}{n}} \quad \lambda \leq 1$$

Filtre RIF

$$F(z) = \frac{1 + z^{-1} + z^{-2} + \dots + z^{-(n-1)}}{n}$$

IV. MISE EN ŒUVRE ET VALIDATION

IV.3 Prétraitement des données (3)

C. Elimination des perturbations basse-fréquence

C1. Elimination de la composante continue

1) Point de fonctionnement connu (u_0, y_0)

$$y_f[k] = y[k] - y_0$$

$$u_f[k] = u[k] - u_0$$

2) Point de fonctionnement inconnu

$$y_f[k] = y[k] - \left(\frac{1}{N} \sum_{k'=1}^N y[k'] \right)$$

$$u_f[k] = u[k] - \left(\frac{1}{N} \sum_{k'=1}^N u[k'] \right)$$

IV. MISE EN ŒUVRE ET VALIDATION

IV.3 Prétraitement des données (4)

C2. Elimination des dérives lentes

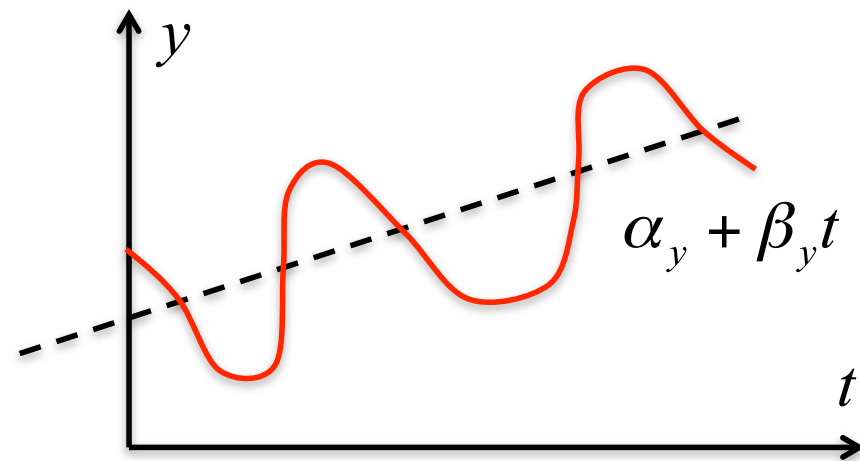
1) La dérive suit une droite de pente constante

$$y(t) = \alpha_y + \beta_y t + y'(t)$$

$$u(t) = \alpha_u + \beta_u t + u'(t)$$

a) $y_f[k] = y[k] - \alpha_y - \beta_y kT$

$$u_f[k] = u[k] - \alpha_u - \beta_u kT$$



IV. MISE EN ŒUVRE ET VALIDATION

IV.3 Prétraitement des données (5)

$$\text{b) } y_f[k] = y[k] - \hat{\alpha}_y - \hat{\beta}_y kT$$

$$u_f[k] = u[k] - \hat{\alpha}_u - \hat{\beta}_u kT$$

$$\hat{\beta}_y = \frac{1}{N-1} \sum_{k=2}^N \frac{y(kT) - y((k-1)T)}{T}$$

$$\hat{\beta}_u = \frac{1}{N-1} \sum_{k=2}^N \frac{u(kT) - u((k-1)T)}{T}$$

$$\hat{\alpha}_y = \frac{1}{N} \sum_{k=1}^N y(kt) - \hat{\beta}_y kt$$

$$\hat{\alpha}_u = \frac{1}{N} \sum_{k=1}^N u(kt) - \hat{\beta}_u kt$$

IV. MISE EN ŒUVRE ET VALIDATION

IV.3 Prétraitement des données (6)

2) Filtrage passe-haut

$$F(z) = (1 - \alpha) \frac{(1 - z^{-1})}{1 - \alpha z^{-1}}$$

$$Y_f(z) = F(z)Y(z)$$

$$U_f(z) = F(z)U(z)$$

$$\Rightarrow y_f[k] = \alpha y_f[k-1] + (1 - \alpha)(y[k] - y[k-1])$$

$$\alpha = e^{\frac{-T}{t_f}} \quad t_f = t_{95\%} \approx 3\tau \quad 1^{\text{er}} \text{ ordre}$$

IV. MISE EN ŒUVRE ET VALIDATION

IV.3 Prétraitement des données (7)

3) Action intégrale dans le modèle de bruit

Exemple:

Modèle ARIMAX

$$A(q)y[k] = B(q)u[k] + \frac{C(q)}{1 - q^{-1}} w[k]$$

$$\Leftrightarrow A(q)\Delta y[k] = B(q)\Delta u[k] + C(q)w[k]$$

$$\Delta y[k] = y[k] - y[k - 1]$$

$$\Delta u[k] = u[k] - u[k - 1]$$

IV. MISE EN ŒUVRE ET VALIDATION

IV.3 Prétraitement des données (8)

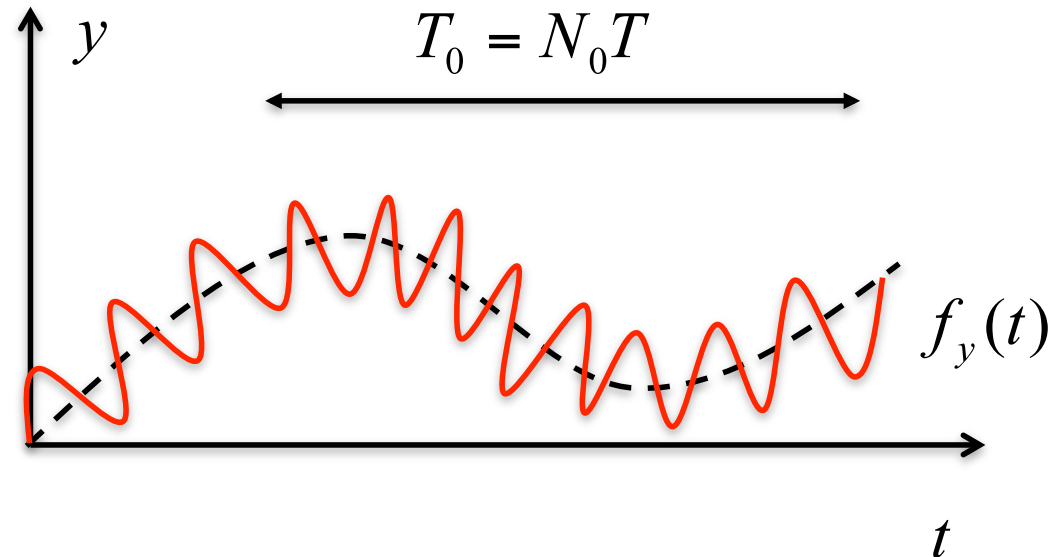
4) Dérive lente périodique

$$y(t) = f_y(t) + y'(t)$$

$$u(t) = f_u(t) + u'(t)$$

$$y_f(t) = y[k] - f_y(kT)$$

$$u_f(t) = u[k] - f_u(kT)$$



$$\hat{f}_y(kT) = \frac{N_0}{N} \sum_{i=0}^{\frac{N}{N_0}-1} y((k \bmod N_0)T + iT_0)$$

$$\hat{f}_u(kT) = \frac{N_0}{N} \sum_{i=0}^{\frac{N}{N_0}-1} u((k \bmod N_0)T + iT_0)$$

IV. MISE EN ŒUVRE ET VALIDATION

IV.3 Prétraitement des données (9)

5) Dérive périodique dans le modèle de bruit

Exemple:

Modèle ARMAX

$$A(q)y[k] = B(q)u[k] + \frac{C(q)}{1 - q^{-N_0}} w[k]$$

$$\Leftrightarrow A(q)\Delta_{N_0}y[k] = B(q)\Delta_{N_0}u[k] + C(q)w[k]$$

$$\Delta_{N_0}y[k] = y[k] - y[k - N_0]$$

$$\Delta_{N_0}u[k] = u[k] - u[k - N_0]$$

IV. MISE EN ŒUVRE ET VALIDATION

IV.3 Prétraitement des données (10)

D. Mise à l'échelle des données

Meilleur conditionnement

$$y_f[k] = \alpha y[k] \quad \text{Avec} \quad \alpha = \frac{|u|_{\max}}{|y|_{\max}} \quad \alpha = \frac{\sum_{k=1}^N |u|}{\sum_{k=1}^N |y|}$$

E. Systèmes avec action intégrale

$$\Delta y_f[k] = y[k] - y[k-1]$$

Modèle $u[k] \rightarrow \Delta y[k]$

Exemple: Modèle ARMAX

$$A(q)\Delta y[k] = B(q)u[k] + C(q)w[k]$$

$$\Leftrightarrow y[k] = \frac{B(q)}{(1-q^{-1})A(q)}u[k] + \frac{C(q)}{A(q)(1-q^{-1})}w[k]$$

IV. MISE EN ŒUVRE ET VALIDATION

IV.3 Prétraitement des données (11)

F. Filtrage du bruit de mesure

$$y_f[k] = F(q^{-1})y[k]$$

$$u_f[k] = F(q^{-1})u[k]$$

1) Filtre passe-bas

$$F(z) = \frac{(1 - \alpha)}{1 - \alpha z^{-1}} \quad \alpha = e^{\frac{-T}{t_f}} \quad t_f \approx \frac{1}{3} \tau$$

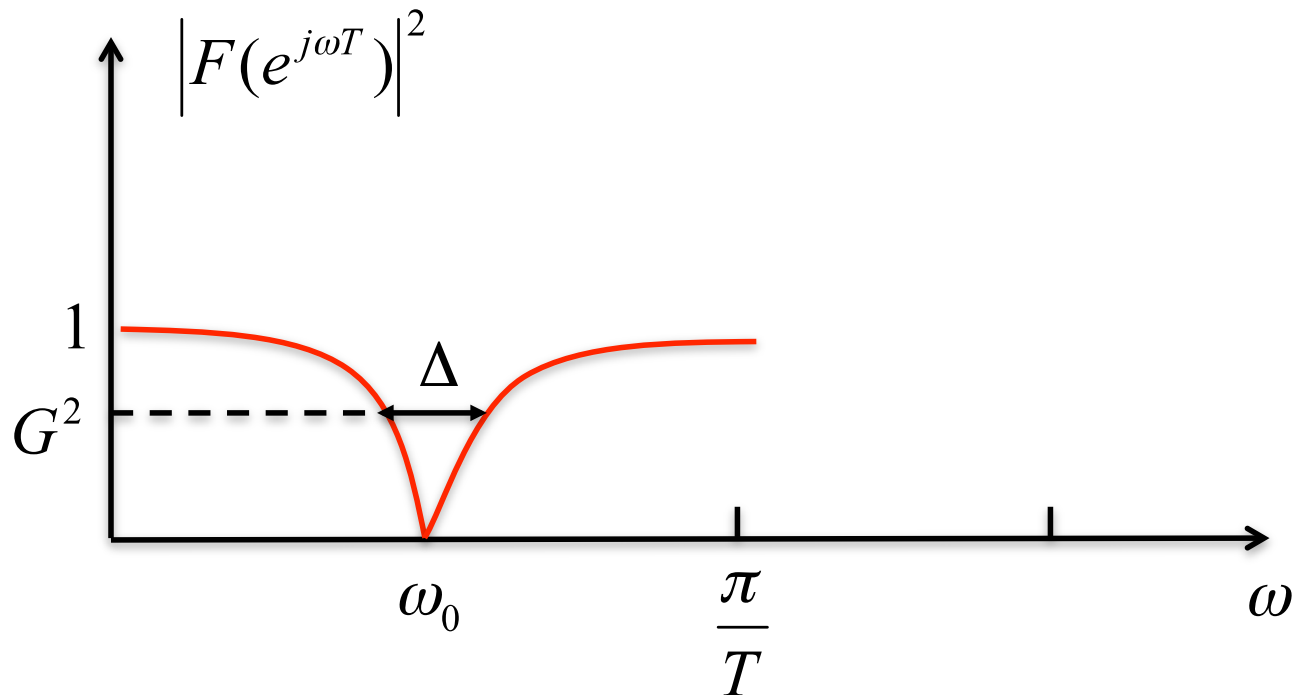
IV. MISE EN ŒUVRE ET VALIDATION

IV.3 Prétraitement des données (12)

2) Filtre « trou »

$$F(z) = b \frac{1 - 2 \cos(\omega_0 T) z^{-1} + z^{-2}}{1 - 2b \cos(\omega_0 T) z^{-1} + (2b - 1) z^{-2}}$$

$$b = \frac{1}{1 + \frac{\sqrt{1 - G^2}}{G} \tan \frac{\Delta}{2}}$$



IV. MISE EN ŒUVRE ET VALIDATION

IV.4 Calcul du modèle (1)

A. Détermination du retard n_r

- Si n_r sous estimé

\Rightarrow premier coefficient de $B(q) \approx 0$

$$|b_1| < 0,15|b_2| \Rightarrow n_r = n_r + 1$$

- « essais et erreur »

n_r trop grand \Rightarrow mauvaise qualité du modèle

\Rightarrow augmenter progressivement n_r

IV. MISE EN ŒUVRE ET VALIDATION

IV.4 Calcul du modèle (2)

B. Détermination de la structure (n_a, n_b, n_c, \dots)

1) Principe de parcimonie

- Commencer avec des modèles simples:

ARX

Erreur de sortie

ARMAX

Variables instrumentales



- Commencer avec des structures simples

$$n_a = 2 \quad \text{ou} \quad n_f = 2$$

$$n_b = 2$$

$$n_r = 1$$

$$n_c = n_a$$

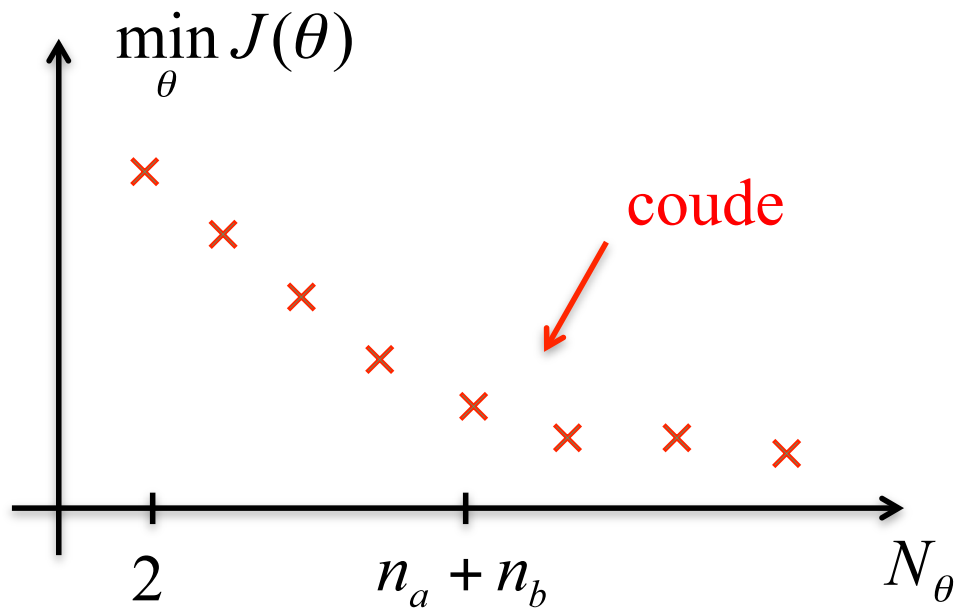
IV. MISE EN ŒUVRE ET VALIDATION

IV.4 Calcul du modèle (3)

2) Identification de l'ordre

Augmenter progressivement la complexité n_a, n_b, n_f

Observer l'évolution de $\min_{\theta} J(\theta)$



$J(\theta)$ décroît toujours
mais généralement il y a
un effet de « saturation »

IV. MISE EN ŒUVRE ET VALIDATION

IV.4 Calcul du modèle (4)

C. Critère pénalisant la complexité

Ne s'applique pas aux méthodes avec variables instrumentales

1) Le test - F

$$\begin{array}{l} M_1(\theta_1) \\ M_2(\theta_2) \end{array} \quad N_{\theta_2} > N_{\theta_1} \quad M_1 \subset M_2$$

$$V_1 = \min_{\theta_1} J(\theta_1) = \frac{1}{N} \sum_{k=1}^N e[k, \theta_1]^2$$

$$V_2 = \min_{\theta_2} J(\theta_2)$$

$$w[k] \quad \text{bruit blanc} \quad N(0, \sigma_i^2) \quad i = 1, 2$$

IV. MISE EN ŒUVRE ET VALIDATION

IV.4 Calcul du modèle (5)

Sous l'hypothèse que le vrai modèle est M_1 et $\sigma_1^2 = \sigma_2^2$

$$\left(\frac{N - N_{\theta_2}}{N_{\theta_2} - N_{\theta_1}} \right) \left(\frac{V_1 - V_2}{V_2} \right) \sim F(N_{\theta_2} - N_{\theta_1}, N - N_{\theta_2})$$

Distribution de Fisher-Snedecor avec degrés de liberté

$$\begin{cases} (N_{\theta_2} - N_{\theta_1}) \\ (N - N_{\theta_2}) \end{cases}$$

\Rightarrow Rejeter M_1 si

$$\left(\frac{N - N_{\theta_2}}{N_{\theta_2} - N_{\theta_1}} \right) \left(\frac{V_1 - V_2}{V_2} \right) > F_{\alpha}(N_{\theta_2} - N_{\theta_1}, N - N_{\theta_2}) \quad \alpha = 0,95$$

ou $\alpha = 0,99$

$(1 - \alpha)$ est la probabilité de rejeter M_1 alors que M_1 est le «bon» modèle

IV. MISE EN ŒUVRE ET VALIDATION

IV.4 Calcul du modèle (6)

2) Critère AIC « Akaike Information Criteria »

$$J_{AIC}(\theta) = \ln(J(\theta)) + \frac{2N_{\theta}}{N}$$

$$\approx \ln \left[\left(1 + \frac{2N_{\theta}}{N} \right) J(\theta) \right] \quad \text{si } N_{\theta} \ll N$$

$$J(\theta) = \frac{1}{N} \sum_{k=1}^N e[k, \theta]^2$$

3) Critère FPE « Final Prédiction Error »

$$J_{FPE}(\theta) = \left(\frac{1 + \frac{N_{\theta}}{N}}{1 - \frac{N_{\theta}}{N}} \right) J(\theta)$$

D. Calcul des pôles et zéros

Proches d'une annulation \Rightarrow ordre trop élevé

IV. MISE EN ŒUVRE ET VALIDATION

IV.5 Validation (1)



Prendre un jeu de données pour la validation qui n'a pas servi au calcul du modèle

A. Simulation

Inspection visuelle des simulations

≠ prédiction (à 1 pas)

IV. MISE EN ŒUVRE ET VALIDATION

IV.5 Validation (2)

B. Analyse des résidus

Résidus = Erreur de prédictions à un pas

$$e(k, \theta) = y(k) - \hat{y}(k, \theta)$$

Bon modèle \Rightarrow

1. $\{e(k)\}$ bruit blanc de moyenne 0
2. $\{e(k)\}$ distribution normale
3. $\{e(k)\}$ distribué symétriquement
4. $\{e(k)\}$ indépendant des entrées (passées)
5. $\{e(k)\}$ indépendant de la production de la sortie

IV. MISE EN ŒUVRE ET VALIDATION

IV.5 Validation (3)

1) Blancheur des résidus

Estimée de la covariance des résidus

$$\hat{R}_e[\tau] = \frac{1}{N} \sum_{k=1}^{N-\tau} e[k] e[k + \tau]$$

$$\Rightarrow \hat{R}_e[0] = \frac{1}{N} \sum_{k=1}^N e^2[k] = J(\hat{\theta})$$

= Estimée de la variance

Hypothèse $e[k]$ **bruit blanc**

a) $\sqrt{N} \frac{\hat{R}_e[\tau]}{\hat{R}_e[0]}$ distribution normale $N(0,1)$

IV. MISE EN ŒUVRE ET VALIDATION

IV.5 Validation (4)

$$\sqrt{N} \frac{\hat{R}_e[\tau]}{\hat{R}_e[0]} = \sqrt{N} \quad \text{si } \tau = 0$$

$$\leq 1,808 \quad \text{Avec probabilité 93\% si } \tau \neq 0$$

$$\leq 1,96 \quad \text{Avec probabilité 95\% si } \tau \neq 0$$

$$\leq 2,58 \quad \text{Avec probabilité 99\% si } \tau \neq 0$$

b) $\frac{N}{\hat{R}_e^2[0]} \sum_{i=1}^m \hat{R}_e^2[i]$ distribution $X^2(m)$

$$\frac{N}{\hat{R}_e^2[0]} \sum_{i=1}^m \hat{R}_e^2[i] \leq X^2_\alpha(m) \quad \text{avec probabilité } \alpha$$

IV. MISE EN ŒUVRE ET VALIDATION

IV.5 Validation (5)

2) Non corrélation des entrées et des résidus

Estimée de l'intercorrélation

$$\hat{R}_{eu}[\tau] = \frac{1}{N} \sum_{k=1-\min(0,\tau)}^{N-\max(0,\tau)} e[k+\tau] u[k]$$

Estimée de la covariance de l'entrée

$$\hat{R}_u[0] = \frac{1}{N} \sum_{k=1}^N u^2[k]$$

Hypothèse: $e[k]$ bruit blanc indépendant de $u[k]$

IV. MISE EN ŒUVRE ET VALIDATION

IV.5 Validation (6)

1) $\frac{\sqrt{N} \hat{R}_{eu}[\tau]}{\sqrt{\hat{R}_e[0] \hat{R}_u[0]}}$ distribution normale $N(0,1)$

$\Rightarrow \left| \frac{\sqrt{N} \hat{R}_{eu}[\tau]}{\sqrt{\hat{R}_e[0] \hat{R}_u[0]}} \right| \leq N_\alpha$ avec probabilité α

2) $\frac{N \sum_{i=1}^m \hat{R}_{eu}^2[i]}{\hat{R}_e[0] \hat{R}_u[0]}$ distribution $\chi^2(m)$

$\Rightarrow \frac{N \sum_{i=1}^m \hat{R}_{eu}^2[i]}{\hat{R}_e[0] \hat{R}_u[0]} \leq \chi_\alpha^2$

IV. MISE EN ŒUVRE ET VALIDATION

IV.5 Validation (7)

3) Test du nombre de passages par zéro

Soit \hat{z}_N le nombre de passages par zéro des résidus $\hat{z}_N = \sum_{i=1}^{N-1} \delta_i$

avec $\delta_i = 1$ si $e[i] e[i+1] < 0$

$\delta_i = 0$ si non

\hat{z}_N a une distribution $N\left(\frac{N}{2}, \frac{N}{4}\right)$

$$\frac{\hat{z}_N - \frac{N}{2}}{\frac{\sqrt{N}}{2}} \sim N(0,1) \Rightarrow \left| \frac{\hat{z}_N - \frac{N}{2}}{\frac{\sqrt{N}}{2}} \right| \leq N_\alpha \quad \text{avec probabilité } \alpha$$

IV. MISE EN ŒUVRE ET VALIDATION

IV.5 Validation (8)

4) Test de non corrélation des résidus et de la sortie prédite

Dans le cas des méthodes

- de la variable instrumentale
- erreur de sortie

La prédiction de la sortie $e[k, \theta]$ est non corrélée avec

$$e[k] = y[k] - \hat{y}[k, \theta]$$

Soit l'intercorrélacion entre $e[k]$ et $\hat{y}[k, \theta] = y_m[k]$

$$\hat{R}_{ey_m}[\tau] = \frac{1}{N} \sum_{k=1-\min(0,\tau)}^{N-\max(0,\tau)} e[k+\tau] y_m[k]$$

$$\hat{R}_{y_m}[0] = \frac{1}{N} \sum_{k=1}^N y_m^2[k]$$

IV. MISE EN ŒUVRE ET VALIDATION

IV.5 Validation (9)

Hypothèse $e[k]$ indépendant de $y_m[k]$

$$1) \frac{\sqrt{N} \hat{R}_{ey_m}[\tau]}{\sqrt{\hat{R}_e[0] \hat{R}_{y_m}[0]}} \sim N(0,1)$$

$$2) \frac{N \sum_{i=1}^m \hat{R}_{ey_m}^2[i]}{\hat{R}_e[0] \hat{R}_{y_m}[0]} \sim \chi^2(m)$$

IV. MISE EN ŒUVRE ET VALIDATION

IV.5 Validation (10)

C. Analyse spectrale

Soit $y[k] = G(q)u[k] + v[k]$ $v[k]$ bruit coloré
 $= y_m[k] + v[k]$

1) Estimateur de la transformée de Fourier empirique (ETFE)

Si $v[k] = 0$

$$Y(e^{j\omega}) = \sum_{k=-\infty}^{+\infty} y[k]e^{-j\omega k}$$

Transformée de Fourier

$$U(e^{j\omega}) = \sum_{k=-\infty}^{+\infty} u[k]e^{-j\omega k}$$

IV. MISE EN ŒUVRE ET VALIDATION

IV.5 Validation (11)

Remarque: Transformée de Fourier discrète d'une séquence de longueur N :

$$Y_N[n] = Y(e^{j\frac{2\pi n}{N}}) = \sum_{k=0}^{N-1} y[k]e^{-j\frac{2\pi kn}{N}}$$

$$U_N[n] = U(e^{j\frac{2\pi n}{N}}) = \sum_{k=0}^{N-1} u[k]e^{-j\frac{2\pi kn}{N}}$$

$$Y(e^{j\omega}) = G(e^{j\omega})U(e^{j\omega})$$

ETFE $\hat{G}_0^N(e^{j\omega}) = \frac{Y_N(\omega)}{U_N(\omega)}$

avec $Y_N(\omega) = \sum_{k=0}^{N-1} y[k]e^{-j\omega k}$ et $U_N(\omega) = \sum_{k=0}^{N-1} u[k]e^{-j\omega k}$

IV. MISE EN ŒUVRE ET VALIDATION

IV.5 Validation (12)

En pratique

1. $Y_N(\omega) \neq Y(e^{j\omega})$ car N devrait être ∞
2. $v[k] \neq 0$

⇒ ETFE

- Estimateur asymptotiquement non biaisé
- Estimateur non consistant

⇒ Moyenne de plusieurs ETFE

IV. MISE EN ŒUVRE ET VALIDATION

IV.5 Validation (13)

2) Estimation spectrale numérique

Si $v[k] \neq 0$ indépendant de $u[k]$

⇒ Corrélation entre y et u

$$R_{yu}[\tau] = R_{y_m u}[\tau] \quad \text{avec} \quad y_m[k] = G(q)u[k]$$

Interdensité spectrale entre y et u

$$\begin{aligned} \Phi_{yu}(e^{j\omega}) &= TF \{R_{yu}[\tau]\} \\ &= \sum_{\tau=-\infty}^{+\infty} R_{yu}[\tau] e^{-j\omega\tau} \\ &= G(e^{j\omega}) \Phi_u(e^{j\omega}) \end{aligned}$$

IV. MISE EN ŒUVRE ET VALIDATION

IV.5 Validation (14)

où $\Phi_u(e^{j\omega}) = \sum_{\tau=-\infty}^{+\infty} R_u[\tau]e^{-j\omega\tau}$ Densité spectrale de $u[k]$
 $= TF\{R_u[\tau]\}$

où $R_u[\tau]$ = autocorrélation de $u[k]$

IV. MISE EN ŒUVRE ET VALIDATION

IV.5 Validation (15)

a) Estimation du spectre

$$\hat{G}_N(e^{j\omega}) = \frac{\hat{\Phi}_{yu}^N(\omega)}{\hat{\Phi}_u^N(\omega)}$$

avec $*$ $\hat{\Phi}_{yu}^N(\omega) = \sum_{\tau=-\gamma}^{\gamma} \hat{R}_{yu}^N[\tau] e^{-j\omega\tau}$ avec $\gamma < N$

et $\hat{R}_{yu}^N[\tau] = \frac{1}{N} \sum_{k=1}^{N-\tau} y[k+\tau]u[k]$ si $\tau \geq 0$
 $= \frac{1}{N} \sum_{k=1-\tau}^N y[k+\tau]u[k]$ si $\tau < 0$

IV. MISE EN ŒUVRE ET VALIDATION

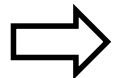
IV.5 Validation (16)

$$* \quad \hat{\Phi}_u^N(\omega) = \sum_{\tau=-\gamma}^{\gamma} \hat{R}_u^N[\tau] e^{-j\omega\tau}$$

$$\text{et} \quad \hat{R}_u^N[\tau] = \frac{1}{N} \sum_{k=1}^{N-|\tau|} u[k + |\tau|] u[k]$$

Estimateur

- Asymptotiquement non biaisé
- Pas consistant



Fluctuation d'autant plus rapide que N est grand

IV. MISE EN ŒUVRE ET VALIDATION

IV.5 Validation (17)

Lissage par une fenêtre

$$\hat{\Phi}_{yu}^N(\omega) = \sum_{\tau=-\gamma}^{\gamma} \hat{R}_{yu}^N[\tau] w_{\gamma}[\tau] e^{-j\omega\tau}$$

$$\hat{\Phi}_u^N(\omega) = \sum_{\tau=-\gamma}^{\gamma} \hat{R}_u^N[\tau] w_{\gamma}[\tau] e^{-j\omega\tau}$$

où $w_{\gamma}[\tau]$ est une fenêtre de taille $2\gamma + 1$

Fenêtres: - Hanning
- Hamming
- Parzen

IV. MISE EN ŒUVRE ET VALIDATION

IV.5 Validation (18)

Moyennage

- 1) Couper la séquence en M séquences de longueur $L = \frac{N}{M}$
- 2) Faire la moyenne arithmétique des M spectres

IV. MISE EN ŒUVRE ET VALIDATION

IV.5 Validation (19)

b) Estimation du spectre du bruit

$$\Phi_y(\omega) = |G(e^{j\omega})|^2 \Phi_u(\omega) + \Phi_v(\omega)$$

Estimateur du spectre du bruit

$$\hat{\Phi}_v^N(\omega) = \hat{\Phi}_y^N(\omega) - \frac{(\hat{\Phi}_{yu}^N(\omega))}{\hat{\Phi}_u^N(\omega)}$$

avec
$$\hat{\Phi}_y^N(\omega) = \sum_{\tau=-\gamma}^{\gamma} w_{\gamma}[\tau] \hat{R}_y^N[\tau] e^{-j\omega\tau}$$

$$\hat{R}_y^N[\tau] = \frac{1}{N} \sum_{k=1}^{N-|\tau|} y[k+\tau]y[k]$$

IV. MISE EN ŒUVRE ET VALIDATION

IV.5 Validation (20)

c) Utilisation des spectres

1) Visualiser

$$\hat{G}_0^N(j\omega), \hat{G}_N(j\omega), \hat{\Phi}_v^N(\omega)$$

- « Roll-off » \Rightarrow degré relatif dans $\hat{G}(j\omega)$
- Résonance \Rightarrow paire de pôles complexes conjugués
- $\hat{\Phi}_v^N(\omega)$ indication sur le modèle de bruit

2) Validation

- Comparer diagramme de Bode du modèle et $\hat{G}_0^N(j\omega)$ ou $\hat{G}_N(j\omega)$
- Comparer densité spectrale du modèle de bruit et $\hat{\Phi}_v^N(\omega)$